

Следующая по степени сложности и учета взаимодействия нелинейно-дисперсионных членов модель может быть получена с учетом слагаемых, содержащих амплитудный и дисперсионный параметры степени не выше первой, а также их произведение. Данная модель описывает распространение волн Кортевега–де Фриза. Она имеет достаточно сложную структуру и для ее интегрирования следует воспользоваться одним из современных численных методов.

Представленные функции $\alpha(x, y, t)$, $\beta(x, y, t)$, $\eta(x, y, t)$, $\eta_1(x, y, t)$, $\eta_2(x, y, t)$ в сочетании с экспериментальными данными позволяют определить волновой режим исследуемой акватории. Использование современных интегрированных сред разработки программных продуктов позволит значительно облегчить вычислительный аспект приложения результатов данного исследования к морской гидротехнике.

СПИСОК ЛИТЕРАТУРЫ

1. Алешков Ю. З. Течения и волны в океане. СПб., 1996. 228 с.
2. Алешков Ю. З. Волны на поверхности сыпучих сред, вызванные потоком жидкости // Вестн. С.-Петерб. ун-та. 2001. Сер. 1. Вып. 4 (№ 25). С. 35-43.
3. Букатов А. А. Математическое моделирование процесса распространения длинных волн: Автореф. дис. ... канд. физ.-мат. наук. СПб., 1992. 16 с.
4. Великанов М. А. Динамика русловых потоков. Л., 1949. 474 с.
5. Ильичев А. Т. Уединенные волны в моделях гидромеханики. М., 2003. 256 с.
6. Кочин Н. Е., Кибель И. А., Розе Н. В. Теоретическая гидромеханика: В 2 т. Т. 1. М., 1955. 560 с.
7. Перегудин С. И. Течения жидкости над сыпучей средой // Математическое моделирование. 2004. Т. 16. № 8. С. 70-76.
8. Франкль Ф. И. О движении песчаных волн // Докл. АН СССР. 1953. Т. 89. № 1. С. 29-32.
9. Черкесов Л. В., Иванов В. А., Хартиев С. М. Введение в гидродинамику и теорию волн. СПб., 1992. 264 с.
10. Шуляк Б. А. Физика волн на поверхности сыпучей среды и жидкости. М., 1971. 400 с.

*Алексей Викторович ТАТОСОВ —
доцент кафедры математического моделирования,
кандидат физико-математических наук*

УДК 539.3

ЗАПОЛНЕНИЕ ПРОППАНТОМ ТРЕЩИНЫ ГИДРОРАЗРЫВА

АННОТАЦИЯ. Рассматривается процесс формирования трещины гидроразрыва при закачивании в скважину вязкой жидкости с примесями частиц. Предложена модель развития трещины и исследованы ее особенности.

The forming process of hydraulic fractures is considered. The model of crack development is moved.

Введение. Для повышения дебита нефтяных скважин иногда применяется технология гидроразрыва пласта. С целью формирования трещины гидроразрыва, в скважину подается вязкий полимер — жидкость гидроразрыва с примесью твердых частиц (проппант). Закачиваемая вязкая смесь, надавливая на берега начальной трещины, расширяет ее. Ввиду просачивания жидкости гидроразрыва в пласт у берегов трещины происходит скопление частиц и более быстрое осаждение их на «дно». После прекращения закачки смеси трещина вновь сужается. Окончательная ее форма определяется распределением по длине слоя осевших частиц. Асимптотика развития трещины указана в [1]. В работе [2] проведено исследование процесса роста трещины гидроразрыва в пористой среде. Цель данного исследования — определить влияние примеси частиц в жидкости гидроразрыва на динамику раскрытия трещины и ее конечную форму.

1. Математическая постановка задачи

Допущения. Движение жидкости с примесями частиц в трещине опишем в односкоростном приближении. Трещина гидроразрыва предполагается вертикальной. Прикоснувшиеся к стенке частицы оседают на «дно» оставаясь в одном поперечном сечении. Осевший слой частиц не изменяет картину фильтрации. Объемным содержанием жидкости в осевшем слое пренебрегаем. Будет также считать, что закачиваемая смесь жидкости гидроразрыва и взвешенных частиц с объемными долями α_1 и α_2 однородна. В силу принятых допущений объемное содержание взвешенных частиц остается неизменным по всей длине трещины.

Форма трещины. При построении математической модели форму поперечного сечения трещины заменим прямоугольной с некоторой средней шириной. На основании гипотезы Перкинса [3], с учетом формы плоских трещин в упругой среде [4], в представленной выше работе [2] указана связь избыточного давления P со средней шириной трещины δ :

$$P = b\delta, \quad b = \frac{4\mu_\sigma}{\pi(1-\nu_\sigma)h} = const, \tag{1.1}$$

где ν_σ — коэффициент Пуассона, μ_σ — модуль сдвига материала.

Геометрическая форма трещины такова, что

$$\delta \ll h \ll L.$$

Здесь $h = const$, L — соответственно высота и длина трещины. На носике трещины, в приближении Перкинса, избыточное давление равно нулю:

$$x = L(t): \quad P = 0.$$

Кинематические соотношения. Вследствие просачивания жидкости гидроразрыва в пласт, взвешенные частицы подходят к берегам трещины и, согласно принятым допущениям, оседают вниз (рис. 1а). Определить скорость роста осевшего слоя частиц удобнее на вспомогательной схеме (рис. 1б).

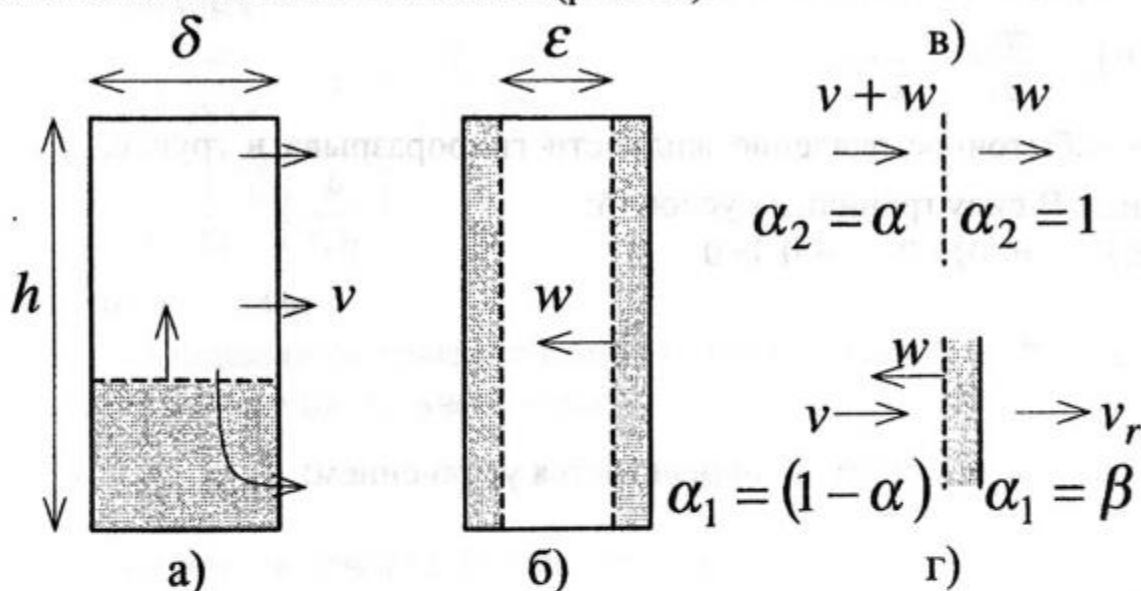


Рис. 1. Схематическое представление плоского сечения трещины, штрихованная область — слой частиц; а) осаждение частиц, коснувшихся стенки; б) прилипание частиц, коснувшихся стенки; в) движение частиц относительно контактной линии; г) движение жидкости относительно берегов трещины

Частицы, коснувшись стенки, «прилипают» к ней, образуя ровный слой: ε — ширина свободной области, w — скорость движения контактной линии, v — скорость жидкости по нормали к берегам трещины, v_r — скорость жидкости гидроразрыва в пласте, α — объемное содержание взвешенных частиц, β — объемное содержание жидкости гидроразрыва в пласте. Скорости w , v , v_r определены относительно боковой поверхности трещины. По определению w , имеем:

$$2w = \frac{\partial}{\partial t}(\delta - \varepsilon) \tag{1.2}$$

Условия непрерывности потока частиц через контактную линию (рис. 1в) и потока жидкости через слой «прилипших» частиц (рис. 1г) дают связи скоростей:

$$\alpha(v+w) = w \Rightarrow w = \frac{\alpha}{1-\alpha} v, \quad (1.3)$$

$$(1-\alpha)(v+w) = \beta v_r \Rightarrow v_r = \frac{1}{\beta} v. \quad (1.4)$$

Уравнения движения. Уравнение неразрывности для жидкой смеси с учетом деформации трещины и осаждения частиц запишем в виде:

$$\frac{\partial s}{\partial t} + \frac{\partial(su)}{\partial x} = -2(v+w)h.$$

Здесь u — скорость движения смеси вдоль трещины; s — площадь поперечного сечения свободной области. Учитывая, что $s = \epsilon h$, получим

$$\frac{\partial \epsilon}{\partial t} + \frac{\partial(\epsilon u)}{\partial x} = -2(v+w). \quad (1.5)$$

В силу принятых ограничений на геометрические параметры трещины в уравнении движения смеси целесообразно пренебречь инерционным слагаемым. Согласно условию осаждения частиц, будем иметь

$$\frac{\partial p}{\partial x} = -\frac{12\eta}{\delta^2} u. \quad (1.6)$$

В целях упрощения формул эффективную вязкость смеси примем равной вязкости жидкости гидроразрыва — η .

Фильтрацию жидкости в грунт опишем по аналогии с [2], применяя гипотезу плоских сечений: жидкость гидроразрыва просачивается в пористую среду только по нормали к трещине. Вязкость жидкости, изначально насыщающей пласт, считаем малой в сравнении с вязкостью жидкости гидроразрыва. Учитывая дополнительно различие скоростей в трещине и пласте, запишем

$$v_r = v_r(t), \quad \frac{\partial p_r}{\partial y} = -\frac{\eta}{k} v_r,$$

где p_r — избыточное давление жидкости гидроразрыва в грунте, k — проницаемость грунта. В силу граничных условий:

$$0 \leq y \leq Y, \quad p_r(0) = P, \quad p_r(Y) = 0,$$

найдем

$$v_r = \frac{k P}{\eta Y}. \quad (1.7)$$

Глубина зоны пропитки Y определяется уравнением:

$$\frac{\partial Y}{\partial t} = v_r. \quad (1.8)$$

Исключая переменные P , w , v , v_r , систему уравнений (1.1)-(1.8) приведем к виду:

$$\frac{\partial \epsilon}{\partial t} + \epsilon \frac{\partial u}{\partial x} + u \frac{\partial \epsilon}{\partial x} = -\frac{2\beta}{1-\alpha} \frac{kb\delta}{\eta Y},$$

$$\frac{\partial \epsilon}{\partial t} = \frac{\partial \delta}{\partial t} - \frac{2\alpha\beta}{1-\alpha} \frac{\partial Y}{\partial t}, \quad (1.9)$$

$$u = -\frac{b}{12\eta} \delta^2 \frac{\partial \delta}{\partial x},$$

$$\frac{\partial Y^2}{\partial t} = \frac{2kb}{\eta} \delta.$$

Второе уравнение с учетом начальных условий

$$\delta = \epsilon = Y = 0, \quad \text{при } t = 0$$

дает интеграл:

$$\varepsilon = \delta - \frac{2\alpha\beta}{1-\alpha} Y. \quad (1.10)$$

Система (1.9) дополняется граничным условием на носике трещины

$$x = L(t): \quad \delta = 0 \quad (1.11)$$

и граничным условием на входе в трещину.

2. **Автомодельное движение.** Решение задачи будем искать в автомодельной форме:

$$\begin{aligned} \delta(x,t) &= t^n D^* D(\xi), \quad \varepsilon(x,t) = t^p H^* H(\xi), \quad u(x,t) = t^r U^* U(\xi), \\ Y(x,t) &= t^s Y^* Y(\xi), \quad \xi = \frac{x}{E^* t^m}. \end{aligned} \quad (2.1)$$

Здесь n, p, r, s, m — безразмерные параметры; D^*, H^*, U^*, Y^*, E^* — размерные постоянные; ξ — безразмерная автомодельная переменная.

Подставляя решение в форме (2.1) в систему (1.9), с учетом интеграла (1.10), получим четыре обыкновенных дифференциальных уравнения относительно ξ :

$$\begin{aligned} pH - m\xi \frac{dH}{d\xi} + H \frac{dU}{d\xi} + U \frac{dH}{d\xi} &= -24 \frac{D}{Y}, \\ \frac{dH}{d\xi} &= \frac{dD}{d\xi} - 48\alpha \frac{dY}{d\xi}, \\ U &= -D^2 \frac{dD}{d\xi}, \\ 2sY^2 - m\xi \frac{dY^2}{d\xi} &= D; \end{aligned} \quad (2.2)$$

найдем значения безразмерных параметров:

$$n = p = r = s = 1, \quad m = 2 \quad (2.3)$$

и размерных постоянных:

$$\begin{aligned} D^* = H^* &= \frac{\beta^2}{(1-\alpha)^2} \frac{kb}{288\eta}, \quad Y^* = \frac{\beta}{1-\alpha} \frac{kb}{12\eta}, \\ U^* = E^* &= \frac{\beta^3}{(1-\alpha)^3} \left(\frac{k}{24} \right)^{3/2} \left(\frac{b}{12\eta} \right)^2. \end{aligned} \quad (2.4)$$

Положим, также $a = 48\alpha$.

Из формы автомодельного решения следует, что на входе в трещину избыточное давление P_0 растет пропорционально времени

$$x = 0: \quad \frac{dP_0}{dt} = \dot{P}_0 = const. \quad (2.5)$$

Данное условие для системы (2.2) запишем в виде

$$\xi = 0: \quad D = A; \quad A = \frac{(1-\alpha)^2}{\beta^2} \frac{288\eta\dot{P}_0}{kb^2} = const. \quad (2.6)$$

Граничное условие (1.11) на носике трещины

$$\xi = \xi_0: \quad D = 0; \quad (2.7)$$

где ξ_0 — неопределенный параметр, соответствующий безразмерной координате носика.

Присутствие частиц не меняет вида решения и граничных условий указанных в [2] для общего случая. Учитывая интеграл (1.10), находим дополнительное ограничение на объемное содержание дисперсных частиц в закачиваемой смеси:

$$\frac{\alpha}{1-\alpha} < \frac{1}{2\beta b} \sqrt{\frac{\eta\dot{P}_0}{k}} \quad \text{или} \quad a < \sqrt{2A}. \quad (2.8)$$

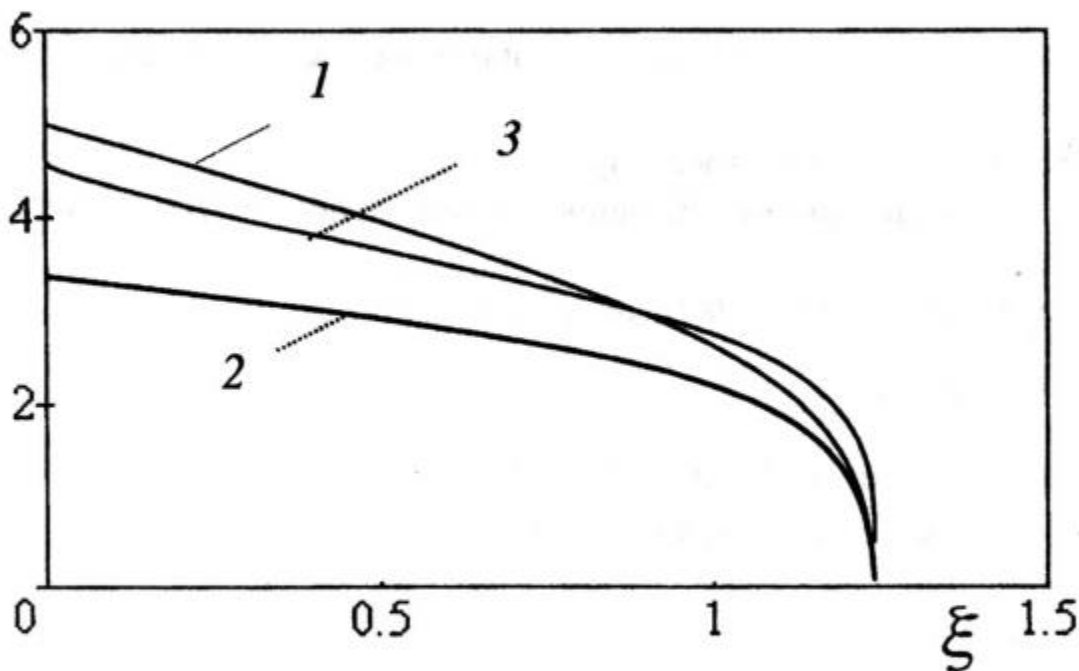


Рис. 2. Распределение безразмерных функций автомодельной переменной по длине трещины. Кривые 1, 2, 3 — соответственно ширина трещины, «ширина» свободной области и уменьшенная в десять раз скорость смеси

Распределение безразмерных функций автомодельной переменной ищем, решая численно краевую задачу (2.2), (2.6), (2.7). На рис.2 показана зависимость D , H , U от ξ при $A=5$, $a=1$. Функции D и H монотонно убывают по длине трещины, а вблизи носика резко падают до нуля. Подобным образом ведет себя скорость U , снижаясь до предельного значения $U(\xi_0) = m\xi_0$. При возрастании объемного содержания частиц до $48\alpha = a=2$, функция $H(\xi)$ имеет слабо выраженный максимум, а $U(\xi)$ — более заметную точку перегиба. Высота слоя осевших частиц есть

$$h_s = \frac{\delta - \varepsilon}{\delta} h.$$

Отсюда, для относительной высоты будем иметь

$$\frac{h_s}{h} = \frac{\delta - \varepsilon}{\delta} = \frac{D - H}{D} = \frac{aY}{D},$$

или

$$\frac{h_s}{h} = af(\xi), \quad f(\xi) = \frac{Y}{D}.$$

Увеличение объемного содержания частиц приводит к замедлению скорости роста трещины:

$$L(t) = \xi_0 U^* t^m.$$

Это связано с уменьшением полного расхода на входе из-за перекрытия части входного сечения трещины слоем осевших частиц. Значение же начальной скорости смеси несколько увеличивается вследствие возрастания градиента давления:

$$a=0: \quad \xi_0 = 1.42, \quad U \approx 37, \quad HU \approx 185;$$

$$a=1: \quad \xi_0 = 1.25, \quad U \approx 46, \quad HU \approx 156;$$

$$a=2: \quad \xi_0 = 1.03, \quad U \approx 67, \quad S HU \approx 127.$$

После прекращения закачки смеси трещина вновь сужается. Определим упрощенно остаточную форму трещины как прямоугольную, со средней шириной δ_s :

$$\delta_s = \delta - \varepsilon = tD^*(D - H) = taD^*Y. \quad (2.9)$$

Функция $Y(\xi)$ близка к линейной зависимости, причем

$$Y(0) = \sqrt{\frac{A}{2s}}, \quad Y(\xi_0) = 0.$$

Заключение. В результате исследования предложенной модели заполнения пропантом трещины гидроразрыва выявлены следующие особенности: модель допускает автомодельное решение; присутствие частиц в жидкости гидроразрыва, подаваемой в скважину, замедляет рост трещины; скорость втекающей смеси при этом повышается.

СПИСОК ЛИТЕРАТУРЫ

1. Nordgren R. P. Propagation of a vertical hydraulic fracture // SPE Journal. Paper 7834. 1972. 12. № 8. 306-314.
2. Ивашнев О. Е., Смирнов Н. Н. Формирование трещины гидроразрыва в пористой среде // Вестн. Моск. ун-та. Сер. 1. 2003. № 6. С. 28-36.
3. Perkins T. K., Kern L. R. Widths of hydraulic fractures // J. Petrol. Technol., Paper SPE 89. 1961. 13. № 9/ 937-949.
4. Новацкий В. Теория упругости. М., 1975.